

对大气气溶胶的辐射效应的数值试验

段建军 陈受钧

(中-韩大气科学研究中心 北京大学地球物理学系 北京, 100871)

郑用升

(韩-中大气科学研究中心 韩国国立教员大学)

摘要 采用两流近似辐射模式, 应用半球常数法近似, 采用累加法和倍加法, 计算了不同月份大气气溶胶的辐射加热率和减温率的日变化。结果表明, 从气候角度而言, 气溶胶浓度的差别使得即使是在 6 月份, 气溶胶层既可以是冷源也可以是热源; 从天气尺度而言, 气溶胶的垂直分布和浓度对层结稳定性有着重要影响, 并由此从物理上指出了沙尘暴天气过程中辐射效应所起的重要作用。

关键词 气溶胶; 长波辐射; 层结

中图分类号 P 422.3; P 423.35

0 引言

大气中悬浮的气溶胶粒子的辐射效应, 即气溶胶对太阳短波辐射和地气系统长波辐射的吸收及散射, 在气候和天气尺度上都有不容忽视的作用。Charlson 和 Pilat^[1]假设大气为一均匀薄层, 用理论推导表明, 气溶胶对太阳短波辐射的后向散射导致地气系统的冷却, 而吸收则有两方面的作用, 一个是加热地气系统, 另一个则是使加热层向上推移, 使得大气稳定度增加。Liou 和 Sasamori^[2]考虑了气溶胶垂直分布的不均匀性以及水汽的吸收作用, 指出由于气溶胶增强, 大气对太阳短波辐射的吸收增加, 到达地面的短波辐射通量减少, 因此在浑浊大气中, 近地面冷却而高层加热。尹宏和韩志刚^[3]指出, 大气气溶胶对大气吸收太阳辐射的加热和增温有显著影响, 按大气气溶胶的平均状况来计算大气将在某些情况下(如沙尘暴)产生显著误差, 而忽略气溶胶作用会产生显著的误差。但是大多数工作着重于短波的辐射效应。为了更好地了解气溶胶辐射效应(尤其是长波辐射效应)在天气过程(日变化)和气候变化中所起的作用, 本文利用一个简单的两流辐射模式, 在不同气溶胶条件下, 对比计算了不同月份和不同太阳时的辐射加热率, 分析了其时空分布特征, 并指出了其在天气尺度和气候尺度上的意义。

1 气溶胶辐射模式简介¹⁾

所用的辐射模式将太阳辐射分为 8 个波段, 地球辐射分为 6 个波段, 如表 1。大气气溶胶

1) 尹宏. 包括云与气溶胶多次散射的一维辐射对流气候模式的原理与程序(内部资料).

的成分和粒子谱采用 Lowtran 模型^[4]。大气气溶胶的垂直廓线用 $0.55 \mu\text{m}$ 的消光系数表示, 如图 1 所示, 其中 E_{x_1} 采用 Toon 和 Pollak^[5]所给出的全球平均廓线, E_{x_2} 参考 Carlson 和 Benjamin^[6]所给出的撒哈拉沙尘暴的消光系数曲线设计。为简便起见, 没有考虑云的辐射效应。在模式中, 温度廓线并未随季节变化, 在所有的计算中, 采用同一温度廓线(图略)这样更易做对比。纬度为北纬 38° , 这与中国西北沙尘暴多发区的纬度相当。对于痕量气体吸收系数的计算, 采用石广玉^[7]提出的指数和模式。在某一波段 $\Delta\nu$ 内, 痕量气体的吸收系数随波数急剧变化, 因此在固定压强和温度下, 将吸收系数 k_ν 按大小进行重排, 使 k_ν 成为单调下降的函数, 再用 Gauss 数值积分法进行计算。

表 1 短波和长波辐射能的分段

Table 1 The bands of long wave and short wave radiation

序号	短 波 辐 射				长 波 辐 射	
	λ/nm	吸收气体	中心波长/nm	大气上界辐照度 ($\text{W}\cdot\text{m}^{-2}$)	σ/cm^{-1}	吸收气体
1	355~406		381.9	58.91	0~250	H_2O
2	406~440		422.3	57.56	610~730	CO_2 ,
					2 110~2 680	H_2O H_2O_2 O_3
3	746.3~759.6		810.0	55.29	530~610	H_2O ,
					730~940	CO_2 ,
	774.9~784.9				H_2O_2 O_3	
	857.6~885					
4	254.6~355	O_3	324.1	58.16	940~1 200	O_3 H_2O H_2O_2 CO_2
5	440~486.9	O_3	554.4	443.79	1 500~1 430	H_2O ,
					1 810~2 110	CO_2
6	686.9~698.4	O_2	727.1	34.87	1 430~1 810	H_2O
	759.6~774.9					
7	698.4~746.3	H_2O	1 025.6	483.38		
	784.9~857.6					
	885~1 519.8					
8	1 519.8~4 201.7	H_2O CO_2	1 919.2	162.04		

水平均一大气中多次散射的短波辐射传输方程^[8]为:

$$udI(\tau, u)\gamma d\tau = -\omega \int_{-1}^1 I(\tau, u')p(u, u')du'/2 + I(\tau, u) - \omega S_0 \exp(-\tau/u_0)p(u, u_0)/2 - \chi(1-\omega)B(T)\lambda \quad (1)$$

公式(1)中 τ 为光学厚度, $\tau = \int_z^h \beta_e dz$, h 是大气上界高度; u 称为纵标, $u = \cos\theta$, θ 为天顶距; $I(\tau, u)$ 是 τ 高度对方位角积分后沿 u 方向的散射光强; $\omega = \beta_s/\beta_e$ 是散射比, 即散射消光系数 β_s 与总消光系数 β_e 之比; $p(u, u')$ 是对方位角积分后的相函数, 表示 u' 方向来的辐射向 u 方

向散射占所有方向总散射的比率 ; S_0 是大气上界的太阳辐射 ; $B\lambda(T)$ 是温度为 T 的黑体辐射。上式第 3、4 项都是源辐射 , 在计算太阳辐射传输时可忽略第 4 项 , 在计算长波辐射传输时可忽略第 3 项。

辐射模式采用两流近似 , 并应用半球常数法近似^[9]。把大气分为若干层 , 假设在每一层内散射、吸收特性都是均匀的。在计算太阳辐射传输时 , 由于在 $\Delta\tau > 0.2$ 时 , 用半球常数法计算的前向散射率和后向散射率误差较大^[10] , 在 $\Delta\tau > 0.1$ 时 , 用倍加法^[11] , 即把这层大气再均分为偶数等份 , 每一小层 $\Delta\tau$ 满足要求 , 前向散射率和后向散射率也相等 , 再计算前向散射率和后向散射率。具体求解过程用累加法^[12]。

多次散射的长波辐射传输方程可写为 :

$$dX(\tau) / d\tau' = -D(\tau) + (1 - \omega)B\lambda(T) + \omega\beta_1 U(\tau) + \omega(1 - \beta_1)D(\tau), \quad (2)$$

$$dU(\tau) / d\tau' = U(\tau) - (1 - \omega)B\lambda(T) - \omega\beta_1 D(\tau) - \omega(1 - \beta_1)U(\tau), \quad (3)$$

其中 , $D(\tau)$ 与 $U(\tau)$ 分别是 τ 高度向下、向上的长波辐照度 ; β_1 是后向散射比 , 其物理意义是入射辐射在相反半球产生散射的百分比 , $\beta_1 = \int_0^1 \beta(u_i) du_i$, 而 $\beta(u_i) = \int_0^1 p(u, u_i) du / 2$, ($u_i > 0$) 或者 $\beta(u_i) = \int_{-1}^0 p(u, u_i) du / 2$ ($u_i < 0$)。

在计算长波辐射传输时 , 也用累加法。把光学厚度增加 1.66 倍 , 即 $\tau' = 1.66\tau$, 用于把各向漫射的长波辐射简化为平行的长波辐射。则有

$$\text{透过率} \quad T = 1 - 1.66\Delta\tau + 1.66\omega(1 - \beta_1)\Delta\tau, \quad (4)$$

$$\text{反射率} \quad R = 1.66\omega\beta_1\Delta\tau. \quad (5)$$

k, j 高度之间的薄层 $\Delta\tau$ 向下、向上的源辐射为

$$F_{kj} = F_{jk} = 1.66(1 - \omega)B\lambda(T)\Delta\tau. \quad (6)$$

当 $\Delta\tau > 0.002$ 时 , 用倍加法来计算。

2 计算结果与讨论

对不同浓度的气溶胶条件下大气辐射特征做了对比计算。所用消光系数如图 1 所示。太阳短波辐射日平均加热率的垂直分布与 Charlson 和 Pilat^[1]、Liou 和 Sasamori^[2] 的结论相一致。利用 E_{x_1} 所计算的长波减温率如图 2 中的曲线 A , 可以看到在地面有较强的长波辐射冷却 , 达到 -2.2 K/d 。利用 E_{x_2} 计算所得的结果表明 , 当 6 km 以下的消光系数增加时 , 地面的长波辐射冷却变弱 , 而强气溶胶层的顶部长波辐射冷却加强 , 如图 2 中的曲线 B 所示。这表明强气溶胶层为长波辐射的源。气溶胶浓度增加 , 其长波辐射也增强 , 同时 , 对来自于地面的长波辐射反射也增强。

在这两种情况下 , 对日平均分布而言 , 长波辐射降温率的最大值与短波加热率的最大值在同一高度 , 两者在白天抵消一部分 , 如图 3 所示。Carlson 等^[12] 发现在沙尘爆发时 , 大约从 850 hPa 到 500 hPa 有等熵混合层。Chen 等^[13] 指出这种等熵混合层的形成与沙尘顶部强辐射加热有关。 E_{x_2} 情况下总辐射加热率的分布验证了这一观点。本文计算了不同月份总日平均大气辐射加热率数据 , 利用 E_{x_1} 计算的结果表明 , 6 月份和 12 月份的分布特征类似 , 都与长波减温率

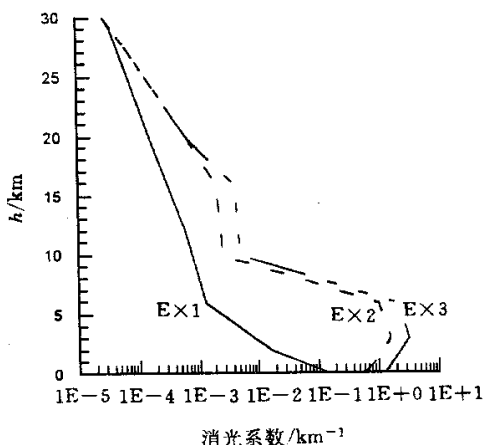


图1 计算所用的消光系数

Fig. 1 The extinction coefficient used in the computation

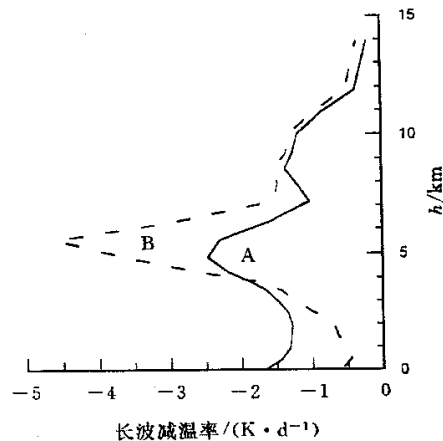
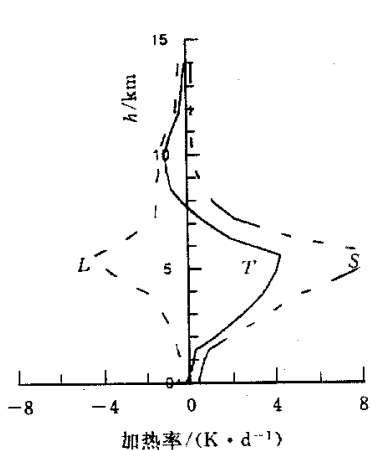
A:用 E_{x_1} 计算, B:用 E_{x_2} 计算

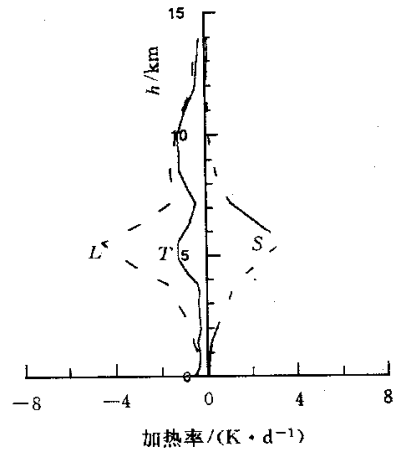
图2 日平均长波减温率随高度的分布

Fig. 2 Daily averaged cooling rate of long wave versus height



(a) 6月份

L:长波减温率, S:短波加热率, T:总辐射加热率



(b) 12月份

L:长波减温率, S:短波加热率, T:总辐射加热率

图3 利用 E_{x_2} 计算的日平均大气辐射加热率

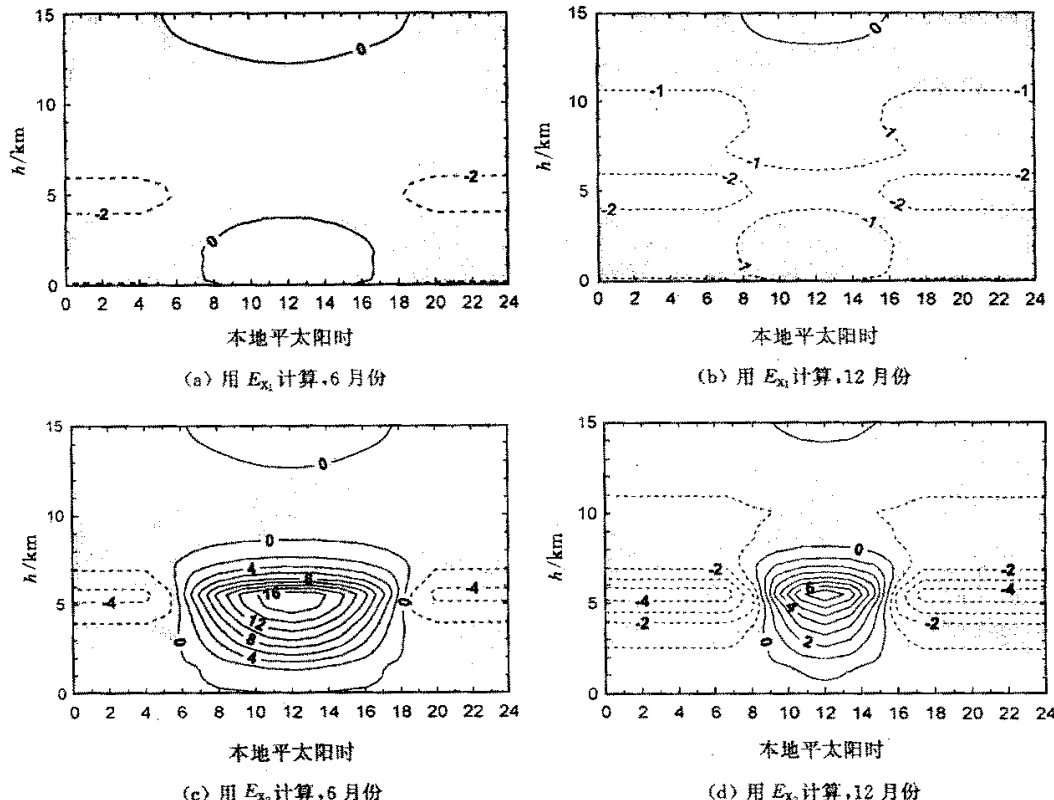
Fig. 3 Daily averaged radiative heating rates computed with E_{x_2}

分布特征相似。区别在于3 km以下降温率前者比后者的小。利用 E_{x_2} 计算的结果则表明,由于强气溶胶层顶日平均短波辐射加热率在6月份为8.9 K/d,而在12月份为3.4 K/d,所以2个月份总日平均辐射加热率分布特征有明显差异,在6月份则类似于短波加热率分布特征,而在12月份类似于长波减温率分布特征。所以气溶胶较弱时,气溶胶层的全年相当于冷源。而

气溶胶较强时，在冬季相当于冷源，在夏季则相当于热源。因此，从气候的角度而言，长波辐射效应有着不可忽视的重要性，对大气温度廓线是一个不可忽视的强迫。

把 E_{x_2} 20 km 高度以下的消光系数加倍（称为 E_{x_3} ），发现夏季的总日平均辐射加热率对此更为敏感，明显增强。而冬季则变化不大，大体上是降温率变小。但是在强气溶胶层顶， E_{x_3} 情况下降温率要略大于 E_{x_2} 的情况，见图 3。而从 E_{x_1} 增加到 E_{x_2} 时，该高度降温率变小。由此可见，辐射效应对单纯的气溶胶增强的响应是非线性的。

还计算了大气辐射加热率的日变化，如图 4。可以看到，无论是在 6 月份还是在 12 月份，在 E_{x_1} 情况下，夜间和白天的加热率分布都使得层结朝不稳定方向发展。而在 E_{x_2} 情况下，在 5 km 高度夜间是冷却，使得层结有不稳定趋势；白天是加热，使得层结朝稳定方向发展。 E_{x_3} 情况与 E_{x_2} 类似。这将对沙尘暴天气的过程提供一个简单的解释。在中国西北的春季，经常会有沙尘暴爆发。在沙尘暴爆发之前，气溶胶的廓线与 E_{x_1} 类似，其辐射效应的积累有利于对



填充的区域为负值，等值线为大气总辐射加热率 ($K \cdot d^{-1}$)，6 月份间隔为 $2 (K \cdot d^{-1})$ ，12 月份间隔为 $1 (K \cdot d^{-1})$

图 4 大气总辐射加热率的日变化

Fig. 4 Daily variation of total radiative heating rate

流的产生,同时使得气溶胶廓线向 E_{x_2} 靠拢。白天的辐射效应的积累又使得对流到了夜间减弱甚至消失。在这一过程中长波辐射效应有重要的作用,尤其是在不稳定层结的产生和维持方面。

3 结 论

本文综合考虑了短波和长波的辐射效应,表明气溶胶的浓度分布在气候和天气尺度上都有重要影响。

气溶胶的增强会导致大气加热率垂直方向上极值分布的改变。不仅使短波加热率的极值向上推移,还使得长波减温率的极值向上推移。从气候角度来讲,气溶胶浓度较弱时,在一年四季,气溶胶层相当于一个冷源。而气溶胶浓度较强时,在冬季相当于冷源,在夏季相当于热源。就天气尺度而言,浓度较弱的气溶胶使得层结朝不稳定方向发展。而浓度强的气溶胶在夜间使得层结朝不稳定方向发展,在白天使得层结朝稳定方向发展;可以预料这一机制在沙尘暴发生和消亡的生命史起着重要作用,但尚需要进一步的统计工作来验证。

参 考 文 献

- 1 Charlson R J , Pilat M J. Climate :The Influence of Aerosols. *J Appl Meteor* , 1969 , 8 :1 001~1 002
- 2 Liou K N , Sasamori T. On the Transfer of Solar Radiation in Aerosol Atmosphere. *J Atmos Sci* , 1975 , 32 :2 166~2 177
- 3 尹宏 韩志刚. 气溶胶大气对太阳辐射的吸收. *气象学报* , 1989 A7 :118~123
- 4 McClatchy R A , Fenn R W , Selby J E A , et al. Optical Properties of the Atmosphere. AFCRL - 72 - 0497. 1972
- 5 Toon O B , Pollack J P. A Global Model of Atmospheric Aerosols for Radiative Transfer Calculations. *J Appl Meteor* , 1976 , 15 :226~246
- 6 Carlson T N , Benjamin S G. Radiative Heating Rates for Saharan Dust. *J Atmos Sci* , 1980 , 37 :193~213
- 7 石广玉. 计算 9.6 微米臭氧带冷却率的一种新方法. *中国科学(B辑)* , 1984 A 378~385
- 8 尹宏. 大气辐射学基础. 北京:气象出版社, 1993.149
- 9 Coakley J A Jr , Chylek P. The Two Stream Approximation in Radiative Transfer :Including the Angle of the Incident Radiation. *J Atmos Sci* , 1975 , 32 :409~418
- 10 Meador W E , Weaver W R. Two-Stream Approximations to Radiative Transfer in Planetary Atmospheres :A Unified Description of Existing Methods and a New Improvement. *J Atmos Sci* 1980 , 37 :630~643
- 11 Lancis A A , Hansen J E. A Parameterization for the Absorption of Solar Radiation in the Earth 's Atmosphere. *J Atmos Sci* , 1974 , 31 :118~133
- 12 Carlson T N , Prospero J M. The Large-Scale Movement of Saharan Air Outbreaks over the Northern Equatorial Atlantic. *J Appl Meteor* , 1972 , 11 :283~297
- 13 Shou-Jun Chen , Ying-Hwa Kuo , Wei Ming , et al. The Effect of Dust Radiative Heating on Low-Level Fronogenesis. *J Atmos Sci* , 1995 , 52 :1 414~1 420

The Numerical Experiments of Aerosol Radiative Effects

DUAN Jianjun CHEN Shoujun

(China-Korea Center for Atmospheric Research , Department of Geophysics ,

Peking University , Beijing , 100871)

CHUNG Yongseung

(Korea-China Center for Atmospheric Research , National University of Education , Korea)

Abstract A simple radiation model was used to calculate daily changes of the aerosol radiative heating rates and cooling rates in different months. Two-stream approximation , hemispheric constant method , adding method and doubling method were applied in the computation. It was demonstrated that in June and December , as far as the daily averaged rates were concerned , whether the aerosol concentration is the heat source or the cold one depends on the aerosol density. However , the relation bears nonlinear features. In the diurnal range , the effects of the aerosol radiative forcing on the atmospheric stability depend on the vertical distribution and density of the aerosol.

Key words aerosol ; long wave radiation ; stratification